

Universidad de La Habana
Facultad de Matemática y Computación



Modelación de la Especialización Hemisférica para Frecuencias Espaciales a través de Campos Receptivos Poblacionales

Autor:

Marié del Valle Reyes

Tutores:

Dr. Mitchell Valdes Sosa
MSc. Ania Mesa Rodríguez

Trabajo de Diploma
presentado en opción al título de
Licenciado en Ciencia de la Computación



2024

Dedicación

Agradecimientos

Agradecimientos

Opinión del tutor

La división de funciones entre los dos hemisferios cerebrales ha sido uno de los temas de más intensamente estudiados en las neurociencias desde hace dos siglos, incluyendo como difieren estos en los procesos visuales. Esto ha generado un volumen valioso de datos psicológicos y clínicos. Con el desarrollo de los métodos modernos de de neuroimágenes se ha obtenido aún más información. Sin embargo, no han generado modelos cuantitativos que puedan explicar cómo se diferencian los dos hemisferios. Hay más datos que teoría sólida. El lenguaje natural para formular modelos apropiados parece estar en el terreno de redes neurales convolucionales profundas, las cuales debe su éxito práctico reciente en diversos campos tecnológicos en su imitación al sistema visual humano. El desarrollo de la modelación de los campos receptivos poblacionales a partir de datos de la resonancia magnética funcional abre el camino a modelos de redes neurales convolucionales mas realistas. La tesis Marie del Valle Reyes sería el primer paso en examinar con campos receptivos poblacionales la lateralización hemisférica de los procesos visuales.

Marié del Valle Reyes es una alumna muy destacada, trabajando con entusiasmo de forma incansable. La estudiante ha demostrado una integración valiosa de habilidades en matemáticas aplicadas a la neurociencia en su tesis de diploma. Ha combinado una capacidad de programación en varios lenguajes (como Python, R, y Matlab) con el aprendizaje rápido de modelos estadísticos avanzados, y el aprendizaje de temas de neurociencias. Su capacidad para traducir conceptos matemáticos complejos en herramientas aplicables a la comprensión de procesos neurales muestra un enfoque interdisciplinario y original. Se han obtenido resultados importantes ya casi maduros para publicar en poco tiempo gracias a su tenacidad y entrega al trabajo. Su investigación es una contribución prometedora en la convergencia de las matemáticas y las neurociencias. Ha sido un gusto trabajar con ella.

Resumen

El estudio investiga la especialización hemisférica en el procesamiento de frecuencias espaciales utilizando campos receptivos poblacionales y modelos lineales mixtos. Se enfoca en el período preferido de los vértices corticales en distintas áreas visuales, examinando su relación con la excentricidad en el campo visual y su impacto en la lateralización hemisférica. A través de este análisis, el estudio aporta comprensión sobre cómo las áreas visuales procesan y representan la información visual, contribuyendo al conocimiento de la especialización funcional de los hemisferios cerebrales en la percepción visual.

Abstract

Resumen en inglés

Índice general

Introducción	1
1. Marco Teórico	4
1.1. Asimetría hemisférica en humanos en la percepción de escalas espaciales	4
1.2. Papel de las frecuencia espaciales en la percepción visual	5
1.3. Resonancia Magnética Funcional	5
1.4. Campos Receptivos de Poblaciones Neuronales	6
1.5. Modelos Matemáticos de Campos Receptivos de Poblaciones Neuronales	7
1.6. Mapa Retinotópico	8
1.7. Mapa Retinotópico Bayesiano	10
1.8. Diferenciación de funciones en los mapas visuales	11
1.9. Otros estudios	12
2. Materiales y Métodos	13
2.1. Datos	13
2.1.1. Amplitudes de respuesta de la activación neuronal	13
2.1.2. pRF	14
2.2. Procesamiento de los datos	15
2.2.1. Estimación de período preferido	15
2.2.2. Limpieza de los datos	15
2.3. Modelo Lineal Mixto	16
2.3.1. Modelo Lineal Mixto para la Frecuencia Espacial Preferida . .	16
2.3.2. Comparación de modelos lineales mixtos para el Período Preferido	17
3. Resultados	19
3.1. Análisis de la elación entre el Tamaño de los pRF y la Excentricidad .	19
3.2. Análisis de la Relación entre el Período Preferido y la Excentricidad .	20
3.3. Resultados del Modelo Lineal Mixto para Frecuencias Espaciales en función de Excentricidad y Hemisferio	23
4. Discusión	25

Conclusiones	27
Recomendaciones	28
Bibliografía	29

Índice de figuras

1.1. Diagrama de flujo que describe el procedimiento de estimación del modelo pRF. Tomado de [7].	9
3.1. Gráfico que representa la relación entre el tamaño de pRF y la excentricidad en las diferentes áreas visuales analizadas.	19
3.2. Gráfico que representa la relación entre el logaritmo del período preferido de los vóxeles y la excentricidad, en las 12 áreas visuales analizadas.	21
3.3. Representación gráfica de los coeficientes estimados para las variables fijas del modelo lineal mixto 2.3.	21
3.4. Conjunto de gráficas representando la relación entre el logaritmo del período preferido de los vóxeles y la excentricidad en los dos hemisferios cerebrales, para las 12 áreas visuales analizadas.	22
3.5. Tabla que resume los resultados del modelo lineal mixto empleado para analizar el logaritmo del periodo preferido de los voxels en diferentes áreas visuales. Cada fila representa los resultados del modelo para una área visual específica. Para cada variable fija del modelo, la tabla muestra la estimación del coeficiente (Coef), el error estándar (SE) y el valor t (t-val). Además, se incluye el factor de Bayes (BF10) para la comparación entre modelos: el BF10 en la columna 'Excentricidad' corresponde a la comparación entre el modelo 2.4 y 2.5; en la columna 'Hemisferio', se refiere a la comparación entre el modelo 2.5 y 2.6; y en la columna 'Excentricidad:Hemisferio', a la comparación entre los modelos 2.6 y 2.3.	24

Ejemplos de código

Introducción

El cerebro humano es un sistema complejo que controla y regula la mayoría de las funciones del cuerpo y de la mente. Este órgano desempeña un papel esencial en la percepción, y el procesamiento de la información, siendo el encargado de recibir, interpretar y responder a los estímulos del entorno, lo cual permite a los individuos interactuar de manera efectiva con el mundo. La información visual,

Hay evidencias sólidas de que en la percepción visual, los dos hemisferios cerebrales se especializan en funciones diferentes, a pesar su colaboración estrecha. Esto se ha evidenciado respecto a la organización jerárquica de los escenas complejas, en las cuales se pueden definir distintos niveles organizativos. Por ejemplo un árbol es el nivel global, y los rasgos como ojos y boca son el nivel local. O un árbol es el nivel global y las ramas son el nivel local.

Se ha observado [8] que el hemisferio derecho muestra una especialización hacia los aspectos globales y el hemisferio izquierdo muestra una especialización para los aspectos locales. No obstante, cualquier teoría que se derive de estas consideraciones debe tener en cuenta que distintos aspectos de un estímulo visual pueden ser percibidos como globales en un contexto y como locales en otro. Por ejemplo, la percepción de un árbol puede considerarse global en comparación con una sola hoja, pero local en relación con un bosque.

Una hipótesis dominante sobre cómo se diferencian los niveles globales y locales de las imágenes en el cerebro es en términos de las frecuencias espaciales de las mismas. En el contexto visual, las frecuencias espaciales se refieren al número de ciclos de un estímulo visual por unidad de ángulo visual, y es una propiedad importante de los estímulos visuales a la que las neuronas son sensibles. Estudios realizados [8] muestran que las frecuencias espaciales más bajas se asocian comúnmente con aspectos globales en el hemisferio derecho, mientras que las SF más altas se asocian con aspectos locales en el hemisferio izquierdo.

La medición de los campos receptivos de la población (pRF) mediante resonancia magnética funcional (fMRI) constituye una posible herramienta para evaluar y medir la lateralización hemisférica. Los pRFs constituyen modelos cuantitativos que predicen la actividad neuronal colectiva en un vóxel de fMRI en función de la selectividad de la respuesta a la posición del estímulo en el espacio visual. Estos modelos suelen estimar referenciar?

la posición y el tamaño de la sección del campo visual que afecta a un vóxel específico. La lateralización hemisférica puede estar vinculada a las propiedades de los pRFs.

Por otra parte, se ha establecido que las neuronas en la corteza visual de los primates (específicamente en la corteza visual primaria) muestran una sintonización con la frecuencia espacial, la cual depende de su ubicación en el campo visual. Existen modelos que determinan la frecuencia espacial preferida de los vértices corticales o conjuntos de vértices corticales de diferentes áreas visuales ([1], [6]). Dada la sensibilidad variable a diversas frecuencias espaciales de estímulos visuales en los hemisferios cerebrales, una estrategia para cuantificar la lateralidad hemisférica podría ser la comparación de la frecuencia espacial preferida entre vértices corticales homólogos en ambos hemisferios cerebrales.

El propósito del presente trabajo consiste en emplear modelos de pRF y modelos encargados de estimar la frecuencia preferida de los vértices corticales, con el objetivo de evaluar la lateralización hemisférica de sus propiedades en el cerebro humano. La hipótesis que guía nuestra investigación sostiene que se postula que las frecuencias preferidas de los vértices corticales en el hemisferio derecho deberían ser menores que las de los vértices corticales homólogos en el hemisferio izquierdo. Se estipula, además, que esta diferencia debería ser más pronunciada en áreas superiores de las rutas visuales.

En el marco de la presente investigación, se utilizará un enfoque basado en modelos estadísticos avanzados, específicamente un modelo lineal mixto. Este modelo permitirá abordar la complejidad inherente a la variabilidad interindividual, proporcionando así una evaluación robusta de las diferencias observadas.

El objetivo general de este estudio es analizar la lateralización hemisférica en el procesamiento visual del cerebro humano, centrándose específicamente en la comparación de las frecuencias espaciales preferidas de vértices corticales homólogos en el hemisferio derecho e izquierdo, utilizando datos de fMRI.

Para lograr el objetivo general del presente trabajo se trazan los siguientes objetivos específicos:

- Estudiar el estado del arte sobre los temas abarcados en el estudio.
- Aplicar modelos de pRF para estimar los campos receptivos de la población en ambos hemisferios cerebrales.
- Implementar modelos estadísticos para evaluar las diferencias en las frecuencias preferidas de los vértices corticales entre hemisferios.
- Analizar la lateralización hemisférica en diferentes áreas visuales y niveles de procesamiento visual.

- Interpretar y discutir los hallazgos, para proporcionar un enfoque más detallado sobre la organización hemisférica en el procesamiento visual.

En lo siguiente, esta tesis se divide en cuatro capítulos. El primero, Marco Teórico, establece el contexto conceptual al explorar teorías clave sobre la lateralización hemisférica, pRFs y mapas retinotópicos. En el segundo capítulo, Materiales y Métodos se detallan las técnicas y procedimientos empleados, facilitando la replicación del estudio. Resultados, es el tercer capítulo, donde se presentan y analizan los hallazgos, utilizando gráficos para visualizar la lateralización hemisférica y las frecuencias espaciales preferidas. Finalmente, en el capítulo cuatro, Discusión, se interpreta críticamente los resultados, se exploran sus implicaciones y limitaciones, y se proponen posibles direcciones para futuras investigaciones.

Capítulo 1

Marco Teórico

1.1. Asimetría hemisférica en humanos en la percepción de escalas espaciales

Cuando se percibe una escena visual se procesan distintas escalas espaciales, recorriendo desde lo más global hasta los detalles locales. Así podemos ver un bosque, pero también podemos ver los árboles que lo componen, y hasta las hojas de estos árboles [**wagemans_perception_2014**]. Hay fuertes evidencias de que los dos hemisferios del cerebro juegan un papel distinto en este proceso [8]. Se piensa que el hemisferio izquierdo es más eficaz en el procesamiento de detalles finos, mientras que el derecho sobresale en la percepción de patrones globales. Esto se ha estudiado experimentalmente con las figuras de Navon, en las cuales letras globales se componen de letras locales [14].

Al presentar letras de Navon [14] los observadores identifican más rápido la letra global cuando se presenta en el campo visual izquierdo (proyectado al hemisferio derecho) y más rápido la letra local cuando se presenta en el campo visual derecho (proyectado al hemisferio izquierdo) [14]. Por otra parte, los pacientes con lesiones en el hemisferio derecho tienen dificultades selectivas en la percepción de las letras globales, mientras que pacientes con lesiones en el hemisferio izquierdo tienen problemas para percibir elementos locales [Robertson Ivry]. Esta lateralización hemisférica se encuentra también en estudios de resonancia magnética funcional (fMRI, por sus siglas en inglés) [**han_hemispheric_2002**] y de electroencefalografía (EEG) [**iglesias-fuster_asynchronous_2015**]. Sin embargo, todavía no existe un modelo ampliamente aceptado que explique el porqué y el cómo de esta lateralización hemisférica.

1.2. Papel de las frecuencia espaciales en la percepción visual

El modelo más interesante para explicar la lateralización hemisférica de la percepción de la escala espacial, propuesto por Robertson y Ivry [[robertson_hemispheric_2000](#)], utiliza el concepto de las frecuencias espaciales de las imágenes. Las imágenes visuales pueden descomponerse en componentes de variación más rápida o lenta, análogo a un análisis de series de Fourier. De hecho, el sistema visual actúa como si tuviera filtros de distintas frecuencias espaciales.

Distintas investigaciones sugieren que las frecuencias bajas se asocian con la percepción global, procesadas predominantemente por el hemisferio derecho, mientras que las frecuencias altas se vinculan con la percepción local, manejadas por el hemisferio izquierdo.

En experimentos donde los sujetos detectaban rejillas de distinta frecuencia espacial se observó que eran más eficientes en la detección de rejillas de baja frecuencia espacial después de prestar atención a una letra de Navon global, mientras que eran más hábiles en la detección de rejillas de alta frecuencia después de focalizar su atención en las letras locales. Además, la identificación de las rejillas sinusoidales con líneas "más gruesas" era más eficiente en el hemisferio derecho, mientras que la identificación de líneas "más delgadas" se detectaba mejor en el hemisferio izquierdo [[flevaris_local_2010](#)].

Basados en estas evidencias Robertson y colaboradores proponen el modelo del Doble Filtro por Frecuencias [[robertson_hemispheric_2000](#)]. En este modelo el sistema visual selecciona un rango de operación en el espacio de frecuencias espaciales, de acuerdo con la escena visual a analizar, y después distribuye la información a los dos hemisferios: la banda de frecuencias más altas al hemisferio izquierdo y la banda de frecuencias más bajas al hemisferio derecho. Este modelo explicaría muchos de los hallazgos descritos arriba. Sin embargo, no postula un mecanismo en términos de circuitos neurales que puedan implementar las operaciones implicadas. El desarrollo de técnicas para estudiar el sistema visual con fMRI abre la posibilidad de identificar los circuitos neurales relevantes, tema que se aborda en la próxima sección.

ver como
lo puse
en otro
lados

1.3. Resonancia Magnética Funcional

La resonancia magnética funcional (fMRI) es una técnica no invasiva para estudiar la activación cerebral con gran detalle espacial. Mide los cambios en la oxigenación de la sangre y el flujo sanguíneo relacionados con la actividad neuronal, ya sea en respuesta a una determinada tarea o en reposo. El método más popular para realizar fMRI utiliza el contraste dependiente del nivel de oxigenación sanguí-

nea (BOLD, por sus siglas en inglés), que aprovecha las diferencias en las propiedades magnéticas de la hemoglobina oxigenada y desoxigenada. Cuando hay mayor actividad neuronal en un sitio se incrementa el flujo de sangre oxigenada a este [lindquist_principles_nodate]. El cambio derivado de esto en la señal de resonancia magnética se denomina función de respuesta hemodinámica (HRF, por sus siglas en inglés).

Los datos adquiridos en un estudio de resonancia magnética funcional consisten en una secuencia de imágenes de resonancia magnética tridimensionales, cada una compuesta por una serie de elementos de volumen o vóxeles uniformemente espaciados. Los vóxeles dividen el cerebro en una gran cantidad de cubos del mismo tamaño. Una imagen típica puede constar de aproximadamente 100.000 vóxeles, donde el valor de intensidad de la imagen correspondiente a cada vóxel representa la distribución espacial de la densidad del espín nuclear, que se relaciona con la oxigenación y el flujo de la sangre, en el área local. Durante un experimento de resonancia magnética funcional se obtienen entre 100 y 1.000 imágenes tridimensionales de todo el cerebro.

Por tanto, fMRI resulta una herramienta ideal para examinar la organización de los circuitos neuronales en el hombre de forma no-invasiva, y en especial para ver los mecanismos neurales de la lateralización hemisférica de la percepción visual. Para ello vamos a utilizar el concepto de campo receptivo.

1.4. Campos Receptivos de Poblaciones Neuronales

El concepto de campo receptivo juega un papel central en el estudio de la vía visual. El campo receptivo de una neurona se refiere a la pequeña región en el campo visual donde una estimulación específica tiene el potencial de alterar la actividad de dicha neurona [kandel_principles_2021]. Los primeros estudios de campos receptivos se realizaron con microelectrodos en la corteza de animales experimentales, lo que permitió identificar la arquitectura básica de las vías visuales.

La evolución de esta perspectiva ha llevado a la conceptualización de los campos receptivos de población (pRF, por sus siglas en inglés). Mientras que los campos receptivos convencionales describen las áreas específicas del espacio visual que activan una única neurona, los pRF se centran en la actividad de una población de neuronas [7]. Estos, constituyen modelos cuantitativos que predicen la actividad neuronal colectiva en un vóxel de fMRI y tienen en cuenta la selectividad de la respuesta neuronal en relación con la posición del estímulo en el espacio visual. La estimación de la posición y el tamaño de la sección del campo visual que afecta a un vóxel específico permite comprender cómo la población neuronal contenida participa en el procesamiento y representación de la información visual en el cerebro.

En [7] se fórmula un modelo matemático del pRF utilizando una función Gaussiana que describe cómo la respuesta neuronal varía con la distancia desde el centro del campo receptivo. Incluye parámetros como la posición del centro del pRF, su tamaño, y la magnitud de la respuesta. La función Gaussiana se ajusta a los datos de actividad neuronal, obtenidos a través fMRI, para estimar las características del pRF en una población neuronal específica. Este modelo se desarrolla en la próxima sección.

1.5. Modelos Matemáticos de Campos Receptivos de Poblaciones Neuronales

En [20] se introduce un modelo de pRF basado en la función Diferencia de Gaussianas, mejorando la capacidad de representar respuestas inhibitorias y la supresión periférica en la corteza visual.

En [13] se desarrolla un modelo de pRF con una no linealidad estática compresiva, es decir, reduce la amplitud de las respuestas a medida que aumenta la intensidad del estímulo. Este modelo explica que la respuesta total a estímulos múltiples es menor que la suma de respuestas individuales. En el modelo propuesto en [7] la estimación de los parámetros de los pRF se llevó a cabo utilizando datos de series temporales de respuestas de fMRI (Ver Fig 1.1). El modelo se basa en la suposición de una relación lineal entre los niveles de oxigenación de la sangre (BOLD) y las señales de resonancia magnética. Esta relación se expresa mediante la ecuación:

citar

$$y(t) = p(t)\beta + e \quad (1.1)$$

donde β es un factor de escala que tiene en cuenta las unidades desconocidas de la señal de fMRI y e es el ruido de la medición.

La predicción $p(t)$ se calcula utilizando un modelo parametrizado de la población neuronal subyacente y el estímulo. Se emplea un modelo gaussiano bidimensional $g(x, y)$ para describir la respuesta de la población neuronal, el cual está definido por tres parámetros x_0 , y_0 y σ ,

$$g(x, y) = \exp - \left(\frac{(x - x_0)^2 + (y - y_0)^2}{2\sigma^2} \right) \quad (1.2)$$

donde (x_0, y_0) es el centro del pRF y σ es la dispersión gaussiana o desviación estándar que caracteriza la extensión del pRF. Estos parámetros están referidos a estímulos, por tanto, las unidades de x_0 , y_0 y σ están todas en grados de ángulo visual. La fórmula que describe el estímulo efectivo $s(x, y, t)$ es una función indicadora binaria que marca la posición de la apertura del estímulo en cada momento. La apertura del estímulo es la región específica de un estímulo visual que está siendo presentada o activada en

un momento dado durante un experimento, por tanto, la función indicadora sería 1 en las posiciones dentro de la apertura y 0 fuera de ella.

Una vez obtenido un modelo de pRF determinado y un estímulo efectivo, se calcula la respuesta de pRF prevista. Dado que la fórmula de pRF (1.2) y la del estímulo efectivo se definen en las unidades comunes del espacio visual, para predecir la serie temporal de fMRI, es necesario calcular la superposición entre el estímulo efectivo y el modelo de pRF en un vóxel.

$$r(t) = \sum_{x,y} s(x,y,t)g(x,y) \quad (1.3)$$

Luego, se obtiene la predicción $p(t)$ de la serie temporal al convolucionar $r(t)$ con un modelo de HRF, el cual se estima por separado para cada sujeto.

$$p(t) = r(t) * h(t) \quad (1.4)$$

La bondad de ajuste se estima calculando la suma de cuadrados residual (RSS, por sus siglas en inglés) entre la predicción, $p(t)$, y los datos, $y(t)$. Este término de error se calcula teniendo en cuenta un factor de escala, β , que tiene en cuenta las unidades desconocidas de la señal de fMRI.

$$RSS = \sum_t (y(t) - p(t)\beta)^2 \quad (1.5)$$

Los parámetros óptimos de pRF se encuentran minimizando el RSS mediante una búsqueda de dos etapas de gruesa a fina (Ver [7] para más detalles), enfoque que minimiza el tiempo de procesamiento y aumenta la probabilidad de encontrar un mínimo global. Se estiman tres parámetros del modelo pRF para cada vóxel de forma independiente: x_0 , y_0 y σ . Estos, se hallan simultáneamente utilizando múltiples series temporales de resonancia magnética funcional medidas con varias aperturas de estímulo diferentes.

El ajuste de pRF permite derivar varias descripciones detalladas de los datos obtenidos. Entre ellas se encuentran los mapas tradicionales de excentricidad y ángulo polar, que revelan la disposición espacial y la orientación preferida de los campos receptivos en la población neuronal.

1.6. Mapa Retinotópico

La corteza visual humana está organizada en múltiples mapas retinotópicos [16]. Un mapa retinotópico es una representación bidimensional de la superficie de la retina en una región específica del sistema visual del cerebro. En estos mapas se respeta la topología de la retina: ubicaciones cercanas en la retina se proyectan a áreas cercanas

ver si es
este el
artículo

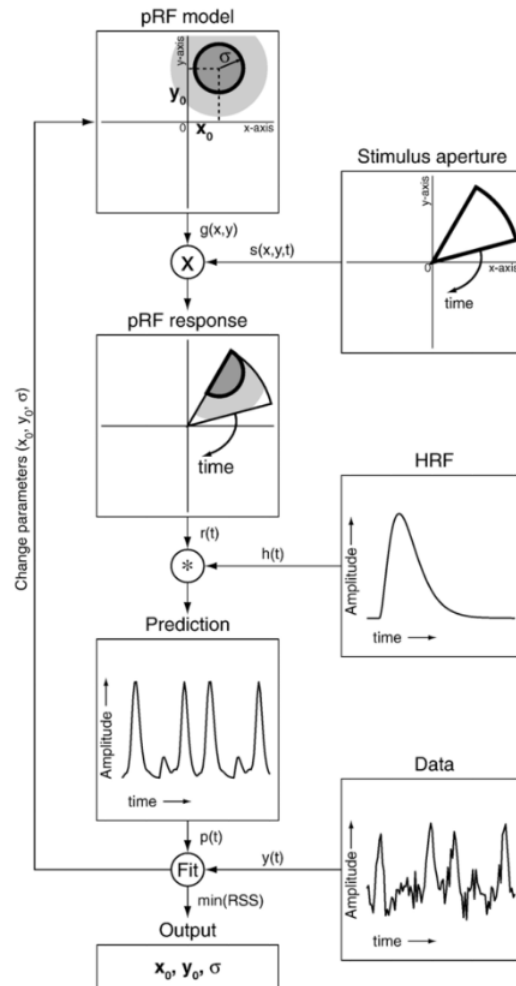


Figura 1.1: Diagrama de flujo que describe el procedimiento de estimación del modelo pRF. Tomado de [7].

en la corteza. La corteza visual primaria (V1) es el punto de entrada de la información visual a la corteza, y el inicio de todas las rutas de procesamiento visual en el cerebro.

La mayoría de los análisis de mapas retinotópicos con datos de fMRI han utilizado este enfoque basado en vóxeles. El método general es: (1) medir las respuestas al mapeo de estímulos en la corteza; (2) derivar coordenadas retinotópicas para cada vóxel o vértice de superficie analizando ondas viajeras o resolviendo el modelo de campo receptivo de población (pRF) [7] descrito en la sección anterior para cada vóxel; (3) finalmente se identifican límites de cada área mediante inspección visual.

Además de requerir mucho tiempo y esfuerzo, los mapas que resultan de este proceso conservan muchas fuentes comunes de error. Debido a las diversas fuentes de ruido, los mapas medidos tienen discontinuidades y a menudo omiten porciones del campo visual. Estas deficiencias del proceso de mapeo retinotópico tradicional se derivan del hecho de que se organiza en torno a la optimización del poder explicativo de las soluciones de retinotopía a partir de vóxeles individuales, en lugar de todo el campo visual o el área cortical. Como consecuencia, produce mapas que no son uniformes ni completos, ni se basan en ningún contexto de cómo el campo visual se deforma en la superficie cortical. Sin estos datos, la comparación de mapas entre sujetos es difícil y el examen cuantitativo preciso de las diferencias individuales es imposible.

Una alternativa al modelado de vóxeles de datos de fMRI es construir un atlas retinotópico, un modelo computacional del mapeo entre la posición del campo visual y la estructura cortical. Los atlas generalmente se ajustan a una descripción promedio del grupo de la función en la superficie cortical después del registro conjunto de la superficie cortical entre sujetos.

En [5] se demuestra que la topología superficial de la corteza occipital permite predecir con aceptable precisión la organización retinotópica de V1. Con medidas del ángulo polar y excentricidad de cada sitio de V1 (obtenidas con fMRI) se midió la localización de las respuestas neuronales en la corteza visual, y se desarrolló un modelo algebraico para ajustar estos datos. A pesar de esto, hay una gran variación entre individuos en la localización funcional de las áreas visuales, que no permite confiar exclusivamente en la anatomía para construir los mapas retinotópicos. Esto llevó al desarrollo de un método bayesiano que se describe en la próxima sección.

1.7. Mapa Retinotópico Bayesiano

El método bayesiano propuesto aborda la necesidad de ajustar mapas retinotópicos a la corteza visual de sujetos individuales sin intervención humana. Utiliza un modelo bayesiano que combina datos, como mediciones de vóxeles o vértices retinotópicos en un sujeto, con un modelo previo basado en un atlas derivado de datos poblacionales previamente medidos (como el estudio de 181 sujetos hecho por el proyecto HCP

[4]). La propuesta sugiere que este enfoque tiene el potencial de ofrecer descripciones más precisas de los mapas retinotópicos en sujetos individuales en comparación con el uso exclusivo de un atlas o mediciones individuales. En otras palabras, el atlas de población se considera como la información *a priori*, y los datos recién obtenidos de un sujeto se utilizan para estimar una verosimilitud que se combina mediante la fórmula de Bayes con el objetivo de mejorar la precisión de la descripción. Se utilizó la formulación bayesiana siguiente, donde la hipótesis H es la deformación particular de la superficie cortical y la evidencia E es un conjunto particular de mediciones retinotópicas.

$$P(H|E) = \frac{P(E|H)P(H)}{P(E)} \quad (1.6)$$

1.8. Diferenciación de funciones en los mapas visuales

Las corteza visuales deben interpretar y procesar distintos aspectos de la información visual que recibe desde la retina. Estos aspectos incluyen desde la percepción básica de formas, colores y movimientos, hasta la interpretación compleja de escenas, rostros y expresiones emocionales. Con el propósito de obtener una comprensión de la visión humana, se realizan estudios que buscan caracterizar con precisión cómo los mapas retinotópicos, descritos en secciones anteriores, representan diversas propiedades visuales. En este contexto, nos enfocaremos específicamente en la representación de la composición de estímulos por frecuencias espaciales.

En [9] se midieron curvas de sintonización de frecuencia espacial en áreas como V1, V2, VP, V3, V4v, V3A, y V5+, utilizando fMRI. Se observó que la frecuencia espacial óptima disminuye con el aumento de la excentricidad visual y varía según la ubicación retinotópica. Estos hallazgos apoyan la idea de que diferentes áreas visuales procesan la información visual en distintas escalas espaciales.

En [1] se aplica un modelo log-Gaussiano para estimar la sintonización de frecuencia espacial a nivel de cada vóxel cerebral, revelando cómo varía la sensibilidad a la frecuencia espacial en la corteza visual inferior. Se miden respuestas a estímulos visuales de diferentes frecuencias espaciales, a través de fMRI. Los resultados indican que la frecuencia espacial preferida disminuye con la excentricidad visual y varía en función de la ubicación retinotópica. Además, se observa que el ancho de banda de sintonización depende de la excentricidad y está correlacionado con el pico de frecuencia espacial preferida.

En [11] se propone el desarrollo de modelos de campo receptivo en la corteza visual primaria utilizando fMRI. Critica los métodos convencionales como la medición de curvas de sintonización y la clasificación de patrones multivariados, y propone en su

lugar la estimación del campo receptivo, método que permite medir respuestas a una amplia gama de estímulos y desarrollar modelos que describan cómo los estímulos se traducen en respuestas neuronales.

En [6] se desarrollaron modelos para analizar la sintonización de la frecuencia espacial en la corteza visual primaria humana. Se ajustaron curvas de sintonización log-normal a las respuestas de grupos de vóxeles en diferentes excentricidades, que permiten estimar la respuesta promedio en la señal asociada con la dependencia del nivel de oxígeno en la sangre, en diferentes frecuencias espaciales. Los resultados muestran que la frecuencia espacial preferida varía inversamente con la excentricidad y se ve influenciada por la orientación del estímulo. Constituye una ampliación a la investigación previa sobre la sintonización de la frecuencia espacial en el córtex visual humano, como la realizada por [1].

1.9. Otros estudios

En [2] se analizan los mapas de campo visual y los tamaños de los pRF en el complejo MT+ humano, usando fMRI. Se halló que el tamaño de los pRF aumenta progresivamente desde V1/2/3 hasta LO-1/2 y TO-1/2, siendo TO-2 el área con los pRF más grandes. También observaron que, dentro de cada mapa, el tamaño de los pRF aumenta con la excentricidad. En [19] se examina la organización del mapa visual del área hV4 y la corteza occipital ventral a través de fMRI y técnicas de pRF. En [4] del Human Connectome Project (HCP), los pRF se utilizan para analizar la organización retinotópica de la corteza visual y subcortical en 181 adultos sanos. En de [10] se comparan las propiedades de los pRFs de dos conjuntos de datos diferentes: uno de la Universidad de Nueva York (NYU) y otro del Human Connectome Project (HCP) [4].

En [16] se destaca la utilización de modelos pRFs para caracterizar las respuestas neurales a diferentes estímulos y tareas visuales y se enfoca en la aplicación de pRFs para entender la atención, la plasticidad y las diferencias en condiciones psiquiátricas y neurológicas. En [12] se realiza un estudio que muestra que la atención aumenta la ganancia, el tamaño y la excentricidad de los pRF en áreas de alto nivel, pero no en áreas visuales tempranas. En [18] se analiza cómo la corteza visual humana procesa la información cromática a través de mediciones de campos receptivos de población (pRF) usando fMRI. En [15] se investigan los pRFs en personas con trastornos del espectro autista.

Capítulo 2

Materiales y Métodos

poner
párrafo
introduc-
torio

2.1. Datos

Se emplearon los datos analizados en el estudio de [6], donde se lleva a cabo un experimento con la participación de 12 sujetos. El objetivo principal de este experimento fue explicar la relación existente entre la frecuencia espacial y la excentricidad en la región V1 del cerebro. Este estudio proporciona una valiosa base de datos, compuesta por estimaciones de amplitud de respuesta de las activaciones neurales, medidas a través de fMRI, a los diferentes estímulos presentados a los sujetos durante el experimento. Además, se obtuvieron las soluciones de los campos receptivos poblacionales (pRF) de cada sujeto.

En esta sección, se brindará una explicación detallada sobre la naturaleza de los datos recopilados en este estudio.

2.1.1. Amplitudes de respuesta de la activación neuronal

Durante la realización del experimento, se procedió al registro de las respuestas BOLD (Blood Oxygen Level Dependent) de los participantes en respuesta a un conjunto de estímulos de rejilla novedosos . Estos estímulos comprendieron 48 vectores de frecuencia diferentes, distribuidos en 8 fases distintas ($0, \frac{\pi}{4}, \frac{\pi}{2}, \dots, \frac{7\pi}{4}$). Dichos vectores de frecuencia se clasificaron en cinco categorías: angular, radial, espiral hacia adelante, espiral hacia atrás y mixto. Para los primeros cuatro estímulos, se consideraron 10 posibles combinaciones de pares (ω_a, ω_r) , donde ω_a representa la frecuencia angular y ω_r la frecuencia radial del estímulo, mientras que el último solo abarcó 8 combinaciones posibles (consultar [6] para obtener información más detallada). La frecuencia angular ω_a es un número entero que especifica el número de ciclos de rejilla

poner
imagen

por revolución alrededor de la imagen, y la frecuencia radial ω_r especifica el número de radianes por unidad de aumento en $\ln(r)$, con r siendo la excentricidad.

Las amplitudes de respuesta a estos estímulos, se estimaron utilizando la caja de herramientas **GLMdenoise** en el entorno de programación MATLAB. **GLMdenoise** es una herramienta diseñada para mejorar la calidad de los datos de fMRI, eliminando artefactos y ruido, lo que facilita una interpretación más precisa de la actividad neuronal. El algoritmo ajusta una función de respuesta hemodinámica (HRF) específica del observador, estimando las amplitudes de respuesta para cada vértice cortical y cada estímulo mediante 100 ejecuciones de bootstrap. La HRF modela la relación temporal entre la actividad neuronal y los cambios en el flujo sanguíneo en el cerebro.

citar

En consecuencia, se obtuvieron 48 respuestas para cada vóxel (una para cada par único de (ω_a, ω_r)), y estas respuestas fueron promediadas a lo largo de las ocho fases presentadas en las pruebas. Además, el algoritmo incorpora tres regresores polinomiales (grados 0 a 2) para capturar la tendencia media de la señal y la deriva lenta, así como regresores de ruido derivados de vóxeles cerebrales que no se ajustan adecuadamente mediante el modelo lineal general (GLM).

Estos datos se pueden encontrar en

poner
enlace

2.1.2. pRF

Con el objetivo de obtener información precisa sobre la ubicación y tamaño de los pRF en cada sujeto, se llevó a cabo un experimento de retinotopía independiente.

Los resultados de este mapeo de pRF se integraron con un atlas retinotópico existente desarrollado por Benson et al. (2014) utilizando el método de mapa retinotópico bayesiano propuesto por Benson en 2018. Este enfoque aprovecha la información detallada de la respuesta de los pRF y la estructura de referencia proporcionada por el atlas retinotópico, lo que permite obtener una representación más precisa y confiable de la organización retinotópica en el cerebro de cada sujeto.

citar

citar

Las estimaciones obtenidas mediante el método bayesiano incluyen la excentricidad, el ángulo polar, el tamaño de los pRF y la delimitación de áreas visuales específicas para cada sujeto. Las áreas visuales estimadas abarcan V1, V2, V3, hV4, VO1, VO2, LO1, LO2, TO1, TO2, V3b y V3a.

El método bayesiano se llevó a cabo utilizando la biblioteca **neuropythy** de Python, la cual facilita la manipulación y el análisis de datos neurocientíficos. Los datos están disponibles en

poner
enlace

2.2. Procesamiento de los datos

2.2.1. Estimación de período preferido

En el análisis de los datos mencionados, se empleó la modelación propuesta por Broderick para ajustar una curva de sintonización log-normal unidimensional a las estimaciones de amplitud de respuesta neural de cada voxel, con el objetivo de estimar los valores de período preferido de cada voxel.

La ecuación del modelo utilizada es la siguiente:

$$\hat{\beta}_b(w_l) = A_b \cdot \exp\left(\frac{-(\log_2(w_l) + \log_2(p_b))^2}{2\sigma_b^2}\right) \quad (2.1)$$

donde $\hat{\beta}_b(w_l)$ representa la respuesta BOLD promedio en el intervalo de excentricidad b a la frecuencia espacial w_l (en ciclos por grado). Los parámetros del modelo incluyen A_b , que es la ganancia de respuesta, p_b , el período preferido que se define como el recíproco de la frecuencia espacial máxima y se determina como la moda de la curva de sintonización, y σ_b , el ancho de banda medido en octavas.

La frecuencia espacial local de un estímulo visual se define como la norma euclidiana del vector de frecuencia (ω_a, ω_r) dividida por la excentricidad r (2.2), lo que implica que el período espacial local de los estímulos crece linealmente con la excentricidad .

$$w_l(r, \theta) = \frac{\sqrt{w_a^2 + w_r^2}}{r} \quad (2.2)$$

citar
Brode-
rick

Para obtener estimaciones robustas de estos parámetros, se realizaron 100 iteraciones de ajuste por sujeto, por clase de estímulo y por excentricidad utilizando el método de bootstrapping. Este enfoque implicó realizar múltiples ajustes utilizando muestras aleatorias con reemplazo de las 12 ejecuciones de fMRI disponibles (una por cada sujeto).

El método de bootstrapping contribuye a la robustez de los resultados al tener en cuenta la variabilidad natural de las respuestas neuronales a lo largo de múltiples repeticiones del experimento. Así, se logra una caracterización detallada de la respuesta de cada voxel, proporcionando información valiosa sobre la frecuencia espacial preferida para diferentes estímulos visuales y en diversas regiones de la excentricidad en el cerebro.

Los módulos necesarios para aplicar esta estimación se encuentran en la carpeta src/spf del repositorio adjunto a este documento.

2.2.2. Limpieza de los datos

En la fase de preprocesamiento de los datos obtenidos en el presente estudio, se llevó a cabo una limpieza para garantizar la confiabilidad y validez de las mediciones.

Se tomaron en consideración dos variables particulares de gran importancia en el análisis: la excentricidad y el período preferido de los voxels.

Existen evidencias en la literatura que sugieren que valores extremadamente grandes o pequeños de excentricidad pueden no ser confiables en estudios neurocientíficos. Por tanto, se restringió el análisis a vóxeles cuya excentricidad se encontraba en un rango entre 1 y 6 unidades. Esta restricción tiene como objetivo mejorar la fiabilidad de las mediciones al excluir valores que podrían introducir sesgos o errores en el análisis.

Para los datos de período preferido de los voxels, se aplicó una transformación logarítmica con el propósito de abordar posibles asimetrías en la distribución y reducir la escala de los datos. Además, se llevó a cabo un filtrado al considerar únicamente aquellos valores cuyo logaritmo era mayor que -6. Esta decisión se basa en la necesidad de excluir valores extremadamente pequeños, que podrían afectar la estabilidad numérica del análisis y no aportarían significativamente a la comprensión de la respuesta neuronal. Esta estrategia también contribuye a manejar posibles datos atípicos que podrían influir negativamente en la interpretación de los resultados.

referencias

2.3. Modelo Lineal Mixto

Con el objetivo de validar nuestra hipótesis, que postula que la frecuencia espacial preferida de los voxels en el hemisferio derecho es menor que la preferida en el hemisferio izquierdo, hemos implementado un modelo lineal mixto. Este tipo de modelo es una extensión del modelo lineal clásico y permite considerar tanto efectos fijos como aleatorios en los datos. En esta sección, se detallarán los aspectos fundamentales de la formulación de los modelos diseñados para evaluar cada una de las hipótesis propuestas.

2.3.1. Modelo Lineal Mixto para la Frecuencia Espacial Preferida

En la formulación del modelo lineal mixto relacionado con la hipótesis, se busca entender la relación entre la frecuencia espacial preferida de los vóxeles y factores como la excentricidad y el hemisferio cerebral. Para ello, se propone el siguiente modelo:

$$\text{Período Preferido} \sim \text{Excentricidad} \times \text{Hemisferio} + (1|\text{Sujeto}) + (1|\text{Estímulo}) \quad (2.3)$$

donde:

- **Período Preferido:** Representa la variable dependiente que se desea modelar, y en este contexto, se utiliza como inverso de la frecuencia espacial preferida.

- **Excentricidad y Hemisferio:** Son las variables predictoras que se asocian con el período preferido. La interacción entre la excentricidad y el hemisferio permite capturar las posibles influencias conjuntas de estas variables en la respuesta neuronal.
- **(1|Sujeto):** Este término aleatorio modela la variabilidad entre los diferentes sujetos en el estudio. Cada sujeto puede tener características individuales que contribuyan a la variabilidad en la respuesta neuronal al estímulo visual.
- **(1|Estímulo):** Representa un término aleatorio para cada estímulo utilizado en el experimento. Diferentes estímulos pueden generar respuestas neurales distintas, y este término captura esa variabilidad entre los estímulos.

La parte del modelo asociada con la excentricidad y el hemisferio representa los efectos fijos. Estos son los factores que queremos evaluar directamente para comprender cómo afectan al período preferido.

Los términos aleatorios (1|sujeto) y (1|estímulo) permiten modelar la variabilidad inherente a los datos, considerando las diferencias entre los sujetos y los estímulos. Estos términos aleatorios son esenciales para capturar la heterogeneidad no explicada por los efectos fijos.

Este enfoque proporciona una representación completa y realista de la complejidad de los datos observados en el experimento Broderick .

citar

2.3.2. Comparación de modelos lineales mixtos para el Período Preferido

Adicionalmente, se comparan varios modelos lineales mixtos para el período preferido mediante el factor de Bayes. A continuación, se formulan y describen los distintos modelos a comparar:

- **Modelo Nulo:**

Este modelo considera un intercepto constante como único predictor, sin incluir covariables específicas. La variabilidad entre sujetos y estímulos se captura a través de términos aleatorios. Sirve como punto de referencia para evaluar la mejora en la explicación del período preferido al introducir covariables.

$$\text{Período Preferido} \sim 1 + (1|\text{Sujeto}) + (1|\text{Estímulo}) \quad (2.4)$$

- **Modelo con Excentricidad:**

En este modelo, se agrega la excentricidad como predictor fijo. Se examina cómo

la excentricidad se relaciona con el período preferido, considerando la variabilidad entre sujetos y estímulos. Explora si la excentricidad aporta información significativa sobre el período preferido en comparación con el Modelo Nulo.

$$\text{Período Preferido} \sim \text{Excentricidad} + (1|\text{Sujeto}) + (1|\text{Estímulo}) \quad (2.5)$$

■ **Modelo con Excentricidad y Hemisferio:**

Este modelo incorpora tanto la excentricidad como el hemisferio como predictores fijos. Se busca evaluar cómo ambas variables influyen en el período preferido, considerando la variabilidad entre sujetos y estímulos. Extiende la exploración al agregar el hemisferio como predictor. Permite evaluar la contribución adicional del hemisferio en la explicación del período preferido.

$$\text{Período Preferido} \sim \text{Excentricidad} + \text{Hemisferio} + (1|\text{Sujeto}) + (1|\text{Estímulo}) \quad (2.6)$$

Este enfoque de comparación entre modelos proporciona perspectivas sobre la relevancia de las variables predictoras en la variabilidad del período preferido, facilitando la selección del modelo más informativo y ajustado a los datos observados.

El BIC ayuda a evaluar la calidad de diferentes modelos estadísticos para los mismos datos. Se usa principalmente para la selección de modelos, especialmente en contextos donde se comparan varios modelos.

Capítulo 3

Resultados

En este capítulo que sigue presenta los hallazgos clave de nuestro análisis, enfocándose en los resultados relativos a la relación entre el periodo preferido y la excentricidad en diferentes áreas visuales, así como su relevancia en la lateralización hemisférica.

3.1. Análisis de la elación entre el Tamaño de los pRF y la Excentricidad

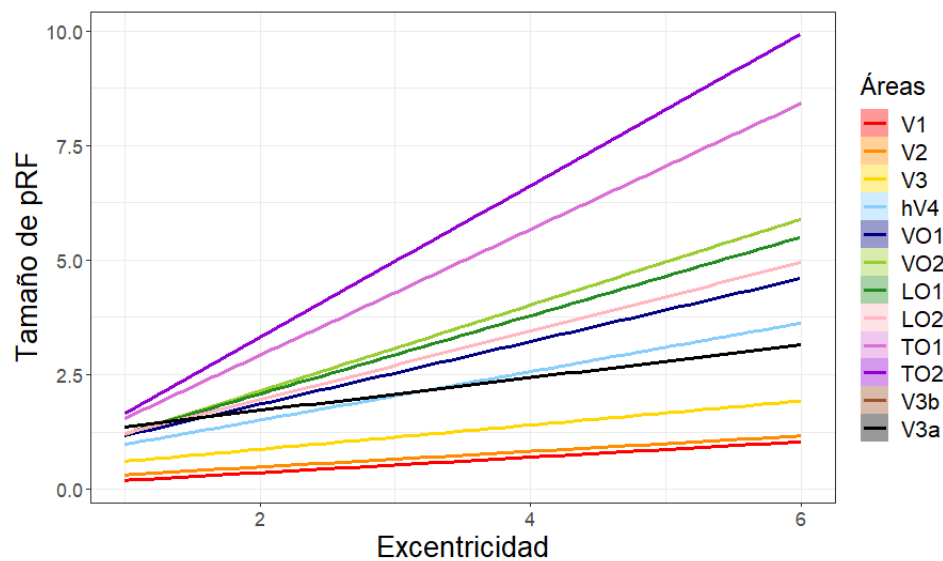


Figura 3.1: Gráfico que representa la relación entre el tamaño de pRF y la excentricidad en las diferentes áreas visuales analizadas.

Aunque no constituye el enfoque principal de este estudio, se llevó a cabo un análisis adicional para examinar la relación entre el tamaño del pRF y la excentricidad en el campo visual. En la Figura 3.1, presentamos las rectas de regresión correspondientes a estas variables. Observamos que el tamaño del pRF tiende a incrementarse con la excentricidad en el campo visual, una tendencia que se manifiesta consistentemente a través de las diferentes áreas examinadas. De manera notable, la pendiente de estas rectas de regresión muestra un aumento progresivo al pasar de áreas visuales tempranas, como V1-V3, a áreas de procesamiento visual de nivel superior, tal como TO1. Este hallazgo está en consonancia con investigaciones previas y refuerza la comprensión de que el tamaño del pRF se expande con la complejidad funcional y jerárquica de las áreas visuales.

añadir
referen-
cias per-
tinentes

3.2. Análisis de la Relación entre el Período Preferido y la Excentricidad

En la figura 3.2, se puede observar que en la mayoría de las áreas visuales analizadas, se cumplen los supuestos de que el período preferido tiende a aumentar con la excentricidad. Sin embargo, es importante destacar que existen variaciones en este patrón.

En áreas visuales como hV4 y VO1, se observa una pendiente de crecimiento negativa. Este hallazgo sugiere que, a medida que la excentricidad aumenta, el período preferido tiende a disminuir en lugar de aumentar. Este comportamiento atípico resalta la diversidad de respuestas visuales en diferentes regiones corticales.

Además, en áreas visuales superiores como LO1, LO2, TO1 y TO2, se evidencia un aumento del pendiente del período preferido con respecto a la excentricidad, comparado con las áreas visuales tempranas. Esta observación indica que estas áreas específicas muestran un patrón consistente de incremento en el período preferido a medida que nos alejamos del punto central de la visión.

Este análisis proporciona una comprensión más completa de cómo la excentricidad puede modular el período preferido en diversas áreas visuales, destacando la necesidad de considerar la heterogeneidad funcional en la corteza visual.

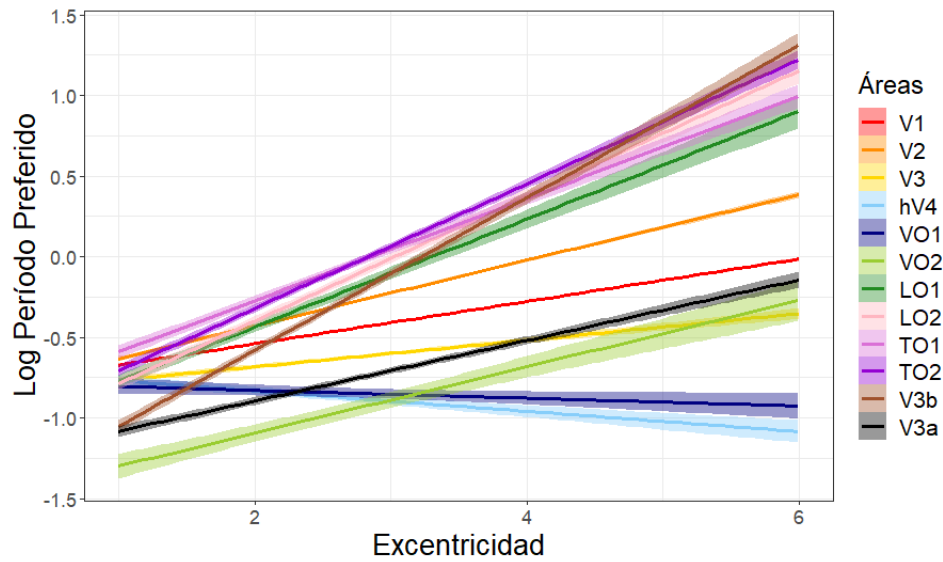


Figura 3.2: Gráfico que representa la relación entre el logaritmo del período preferido de los vóxeles y la excentricidad, en las 12 áreas visuales analizadas.

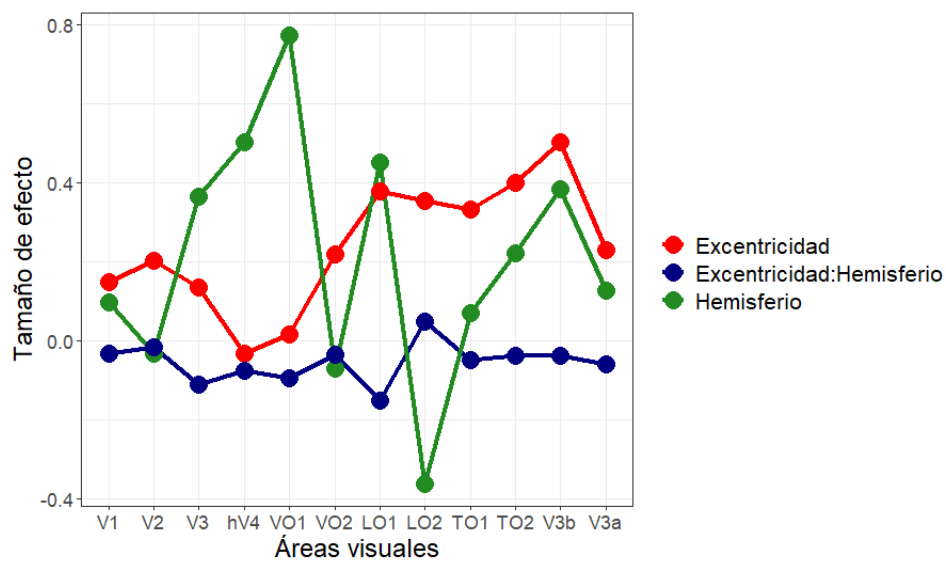


Figura 3.3: Representación gráfica de los coeficientes estimados para las variables fijas del modelo lineal mixto 2.3.

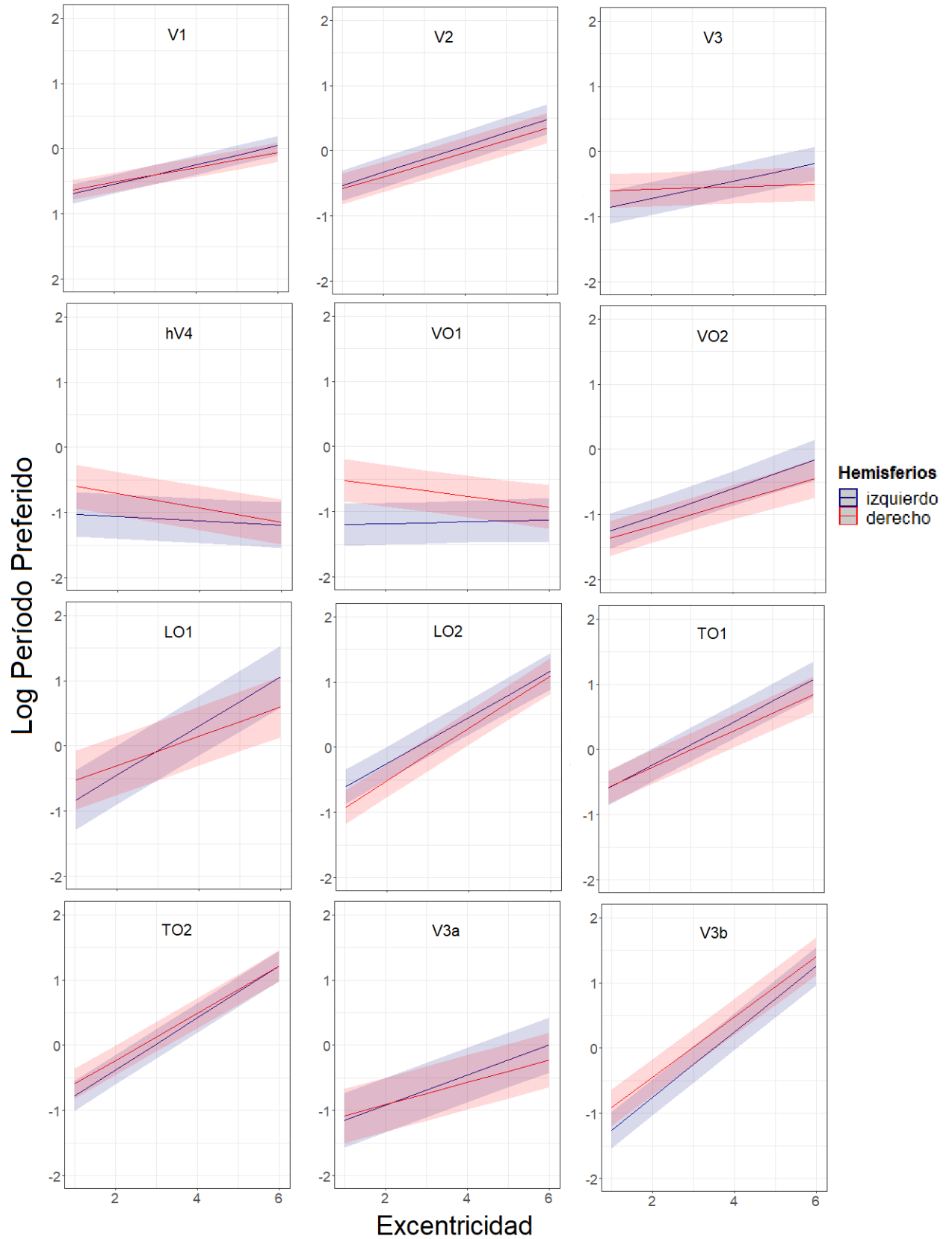


Figura 3.4: Conjunto de gráficas representando la relación entre el logaritmo del

3.3. Resultados del Modelo Lineal Mixto para Frecuencias Espaciales en función de Excentricidad y Hemisferio

A continuación, se aborda el núcleo central de esta tesis: el análisis del impacto del hemisferio cerebral sobre el período preferido. Los resultados obtenidos del modelo lineal mixto, aplicado a las frecuencias espaciales de estímulos visuales, se detallan en la Figura 3.5. En esta figura, las filas ilustran las diferentes áreas visuales analizadas mediante el modelo 2.3, mientras que las columnas representan las variables fijas del modelo con sus respectivos resultados estimación de los coeficientes (Coef), error estándar (SE), t-valor (t-val) y el factor de Bayes de la comparación de cada uno de los modelos propuestos en la sección 2.3.

En el modelo 2.3 la variable de interés es "periodo preferido", que es el inverso de la frecuencia espacial. Se modela su relación con la excentricidad y el hemisferio. Además, se incluyeron efectos aleatorios para los sujetos y los estímulos.

En la figura 3.5 se observa que salvo en V01 y hV4, el efecto de excentricidad es positivo (crece periodo con excentricidad) y significativo en la t de Student y por el factor de Bayes. También crece la magnitud el efecto al pasar de áreas tempranas a áreas de orden superior (confirmando lo visto en la figura XX. En hV4 el coeficiente es negativo, aunque de menor tamaño que para otras áreas, y significativo por la t de Student y el factor de Bayes. VO1 el coeficiente es muy pequeño, y no significativo.

Es llamativo que hay un efecto de hemisferio significativo en casi todas las áreas con excepción de V02, pero con coeficientes pequeños en V1, V2, TO1, y V3A. En las demás áreas (V3, hV4, VO1, LO1, LO2, TO2, V3B) el periodo es significativamente mayor en hemisferio derecho que el izquierdo, y mayor en V01, hV4 y LO1 (ver Figura ***). Las interacciones entre excentricidad y hemisferio, aunque en muchas áreas fueron significativas, resultaron de poca magnitud en todas las áreas examinadas salvo V3 y LO1.

áreas	Excentricidad				Hemisferio				Excentricidad:Hemisferio			
	Coef	SE	t-val	BF10	Coef	SE	t-val	BF10	Coef	SE	t-val	BF10
V1	0.15	0.00	67.94	Inf	0.10	0.01	8.96	9.78e-04	-0.03	0.00	-10.94	2.01e+21
V2	0.20	0.00	49.13	Inf	-0.03	0.02	-1.75	1.47e+18	-0.02	0.01	-2.88	3.08e-03
V3	0.13	0.01	20.97	1.06e+60	0.36	0.03	12.99	3.3e+00	-0.11	0.01	-12.26	3.3e+28
hV4	-0.03	0.01	-2.32	9.71e+08	0.50	0.05	9.81	1.37e+35	-0.08	0.02	-4.09	1.21e+00
VO1	0.01	0.02	0.94	4.66e-04	0.77	0.07	11.28	1.89e+63	-0.10	0.02	-4.27	3.71e+00
VO2	0.22	0.03	8.16	7.53e+22	-0.07	0.11	-0.66	4.37e-01	-0.04	0.04	-1.00	1.82e-03
LO1	0.38	0.02	19.62	2.19e+109	0.45	0.06	7.44	4.35e+00	-0.15	0.02	-6.15	7.96e+04
LO2	0.35	0.02	21.09	8.32e+256	-0.36	0.06	-6.07	2.01e+13	0.05	0.02	2.25	5.71e-03
TO1	0.33	0.01	26.04	1e+208	0.07	0.06	1.19	8.28e-03	-0.05	0.02	-2.55	1.27e-02
TO2	0.40	0.01	39.02	Inf	0.22	0.05	4.38	4.65e+02	-0.04	0.02	-2.23	4.38e-03
V3b	0.50	0.01	34.16	Inf	0.38	0.06	6.96	2.42e+23	-0.04	0.02	-1.97	2.54e-03
V3a	0.23	0.01	21.32	4.42e+158	0.13	0.05	2.70	2.71e-03	-0.06	0.01	-4.06	6.58e-01

Figura 3.5: Tabla que resume los resultados del modelo lineal mixto empleado para analizar el logaritmo del periodo preferido de los voxels en diferentes áreas visuales. Cada fila representa los resultados del modelo para una área visual específica. Para cada variable fija del modelo, la tabla muestra la estimación del coeficiente (Coef), el error estándar (SE) y el valor t (t-val). Además, se incluye el factor de Bayes (BF10) para la comparación entre modelos: el BF10 en la columna 'Excentricidad' corresponde a la comparación entre el modelo 2.4 y 2.5; en la columna 'Hemisferio', se refiere a la comparación entre el modelo 2.5 y 2.6; y en la columna 'Excentricidad:Hemisferio', a la comparación entre los modelos 2.6 y 2.3.

Capítulo 4

Discusión

En este estudio, se confirma que el tamaño de los campos receptivos periódicos (pRF) y el período crecen con la excentricidad en el campo visual. Es interesante destacar que la pendiente de este crecimiento es más pronunciada en regiones superiores de la vía visual. El hallazgo novedoso de esta tesis es que la preferencia de periodo es distinta en los dos hemisferios cerebrales. En particular, se observó que en cuatro áreas visuales específicas (hV4, VO1, TO2, V3b), el período preferido de los vértices corticales era mayor en el hemisferio derecho en comparación con el izquierdo. Este efecto, no fue evidente en áreas visuales primarias (V1-V3) ni en algunas áreas de orden superior (por ejemplo, LO2).

En comparación con estudios anteriores, este trabajo es pionero al comparar la diferencia de selectividad para frecuencias espaciales entre los hemisferios en áreas visuales superiores. Es de notar que los pocos trabajos que examinan la diferencia de selectividad para frecuencias espaciales entre los dos hemisferios lo hacen en áreas tempranas (V1-V3). En estos trabajos no encuentran diferencias, lo cual concuerda con nuestros resultados, que indican que la especialización debe surgir después de las etapas más tempranas de la vía visual.

Por tanto, nuestro trabajo ofrece la primera propuesta de un modelo explicativo para la especialización hemisférica en la percepción global/local. Específicamente nuestro estudio sugiere que la segunda etapa del modelo del Doble Filtraje por Frecuencias se debe a diferencias en la selectividad a frecuencias espaciales de los hemisferios cerebrales debido a su organización en campos receptivos con propiedades distintas. Falta explicar cómo se logra la primera etapa de este modelo que postula un ajuste del rango de frecuencias de trabajo según el tipo de estímulo. Se sugiere la necesidad de explorar cómo la preferencia por frecuencias espaciales puede variar al cambiar la atención del sujeto y cómo estas propiedades pueden adaptarse a diferentes estímulos.

Estas ideas se pueden explorar con redes neurales convolucionales profundas, En

trabajos realizados en CNEURO, fueron entrenadas redes para reconocer letras, (Garea, comunicación personal). estas redes se construyeron con múltiples canales que diferían en el tamaño y la selectividad en frecuencia de filtros de Gabor como primer paso del procesamiento de las imágenes con letras. Los filtros de Gabor son el mejor modelo para describir el campo receptivo de células visuales o poblaciones neuronales. Cuando se entrena estas redes para discriminar objetos que tienen niveles globales y locales, eliminar los filtros de baja frecuencia impide la percepción de letras globales, y eliminar los filtros de alta frecuencia impide la percepción de letras locales. Sería interesante construir redes incorporando los parámetros fisiológicos medidos en este estudio y hacer una simulación más realista.

Conclusiones

Conclusiones

Recomendaciones

Recomendaciones

1. Examinar los mismos datos de esta tesis con otros atlas retinotopicos, como el de Sereno o Glasser que tengas delimitadas mayor número de áreas visuales superiores (como las areas que procesan caras).
2. Desarrollar una simulación con redes neuronales convolucionales incorporando los parámetros fisiológicos medidos en este estudio y hacer una simulación más realista.
3. Realizar un experimento de fMRI que mida la preferencia para distintas frecuencias espaciales en los dos hemisferios cuando varía el espectro de los estímulos visuales atendidos.

Bibliografía

- [1] Sara Aghajari, Louis N. Vinke y Sam Ling. «Population spatial frequency tuning in human early visual cortex». en. En: *Journal of Neurophysiology* 123.2 (feb. de 2020), págs. 773-785. ISSN: 0022-3077, 1522-1598. DOI: 10.1152/jn.00291.2019. URL: <https://www.physiology.org/doi/10.1152/jn.00291.2019> (visitado 26-11-2023) (vid. págs. 2, 11, 12).
- [2] Kaoru Amano, Brian A. Wandell y Serge O. Dumoulin. «Visual Field Maps, Population Receptive Field Sizes, and Visual Field Coverage in the Human MT+ Complex». en. En: *Journal of Neurophysiology* 102.5 (nov. de 2009), págs. 2704-2718. ISSN: 0022-3077, 1522-1598. DOI: 10.1152/jn.00102.2009. URL: <https://www.physiology.org/doi/10.1152/jn.00102.2009> (visitado 26-11-2023) (vid. pág. 12).
- [3] Noah C Benson y Jonathan Winawer. «Bayesian analysis of retinotopic maps». en. En: *eLife* 7 (dic. de 2018), e40224. ISSN: 2050-084X. DOI: 10.7554/eLife.40224. URL: <https://elifesciences.org/articles/40224> (visitado 17-08-2023).
- [4] Noah C. Benson et al. «The Human Connectome Project 7 Tesla retinotopy dataset: Description and population receptive field analysis». en. En: *Journal of Vision* 18.13 (dic. de 2018), pág. 23. ISSN: 1534-7362. DOI: 10.1167/18.13.23. URL: <http://jov.arvojournals.org/article.aspx?doi=10.1167/18.13.23> (visitado 01-09-2023) (vid. págs. 11, 12).
- [5] Noah C. Benson et al. «The Retinotopic Organization of Striate Cortex Is Well Predicted by Surface Topology». en. En: *Current Biology* 22.21 (nov. de 2012), págs. 2081-2085. ISSN: 09609822. DOI: 10.1016/j.cub.2012.09.014. URL: <https://linkinghub.elsevier.com/retrieve/pii/S0960982212010779> (visitado 17-08-2023) (vid. pág. 10).
- [6] William F. Broderick, Eero P. Simoncelli y Jonathan Winawer. «Mapping spatial frequency preferences across human primary visual cortex». en. En: *Journal of Vision* 22.4 (mar. de 2022), pág. 3. ISSN: 1534-7362. DOI: 10.1167/jov.22.4.3. URL: <https://jov.arvojournals.org/article.aspx?articleid=2778653> (visitado 21-11-2023) (vid. págs. 2, 12, 13).

- [7] Serge O. Dumoulin y Brian A. Wandell. «Population receptive field estimates in human visual cortex». eng. En: *NeuroImage* 39.2 (ene. de 2008), págs. 647-660. ISSN: 1053-8119. DOI: 10.1016/j.neuroimage.2007.09.034 (vid. págs. 6-10).
- [8] Anastasia V. Flevaris y Lynn C. Robertson. «Spatial frequency selection and integration of global and local information in visual processing: A selective review and tribute to Shlomo Bentin». en. En: *Neuropsychologia* 83 (mar. de 2016), págs. 192-200. ISSN: 00283932. DOI: 10.1016/j.neuropsychologia.2015.10.024. URL: <https://linkinghub.elsevier.com/retrieve/pii/S0028393215302001> (visitado 24-10-2023) (vid. págs. 1, 4).
- [9] L. Henriksson et al. «Spatial frequency tuning in human retinotopic visual areas». en. En: *Journal of Vision* 8.10 (ago. de 2008), págs. 5-5. ISSN: 1534-7362. DOI: 10.1167/8.10.5. URL: <http://jov.arvojournals.org/Article.aspx?doi=10.1167/8.10.5> (visitado 31-12-2023) (vid. págs. 11).
- [10] Marc M. Himmelberg et al. «Cross-dataset reproducibility of human retinotopic maps». en. En: *NeuroImage* 244 (dic. de 2021), págs. 118609. ISSN: 10538119. DOI: 10.1016/j.neuroimage.2021.118609. URL: <https://linkinghub.elsevier.com/retrieve/pii/S105381192100882X> (visitado 27-10-2023) (vid. págs. 12).
- [11] Kendrick N. Kay. «Understanding Visual Representation by Developing Receptive-Field Models». en. En: *Visual Population Codes*. Ed. por Nikolaus Kriegeskorte y Gabriel Kreiman. The MIT Press, oct. de 2011, págs. 133-162. ISBN: 978-0-262-30357-6. DOI: 10.7551/mitpress/8404.003.0009. URL: <https://direct.mit.edu/books/book/2176/chapter/57847/Understanding-Visual-Representation-by-Developing> (visitado 27-10-2023) (vid. págs. 11).
- [12] Kendrick N. Kay, Kevin S. Weiner y Kalanit Grill-Spector. «Attention Reduces Spatial Uncertainty in Human Ventral Temporal Cortex». en. En: *Current Biology* 25.5 (mar. de 2015), págs. 595-600. ISSN: 09609822. DOI: 10.1016/j.cub.2014.12.050. URL: <https://linkinghub.elsevier.com/retrieve/pii/S0960982214016534> (visitado 31-12-2023) (vid. págs. 12).
- [13] Kendrick N. Kay et al. «Compressive spatial summation in human visual cortex». En: *Journal of Neurophysiology* 110.2 (jul. de 2013). Publisher: American Physiological Society, págs. 481-494. ISSN: 0022-3077. DOI: 10.1152/jn.00105.2013. URL: <https://journals.physiology.org/doi/full/10.1152/jn.00105.2013> (visitado 01-09-2023) (vid. págs. 7).
- [14] David Navon. «Forest before trees: The precedence of global features in visual perception». en. En: *Cognitive Psychology* 9.3 (jul. de 1977), págs. 353-383. ISSN: 00100285. DOI: 10.1016/0010-0285(77)90012-3. URL: [https://linkinghub.elsevier.com/retrieve/pii/S00100285\(77\)90012-3](https://linkinghub.elsevier.com/retrieve/pii/S00100285(77)90012-3)

- elsevier.com/retrieve/pii/0010028577900123 (visitado 31-12-2023) (vid. pág. 4).
- [15] D. Samuel Schwarzkopf et al. «Larger Extrastriate Population Receptive Fields in Autism Spectrum Disorders». en. En: *The Journal of Neuroscience* 34.7 (feb. de 2014), págs. 2713-2724. ISSN: 0270-6474, 1529-2401. DOI: 10.1523/JNEUROSCI.4416-13.2014. URL: <https://www.jneurosci.org/lookup/doi/10.1523/JNEUROSCI.4416-13.2014> (visitado 28-12-2023) (vid. pág. 12).
 - [16] Brian A. Wandell y Jonathan Winawer. «Computational neuroimaging and population receptive fields». en. En: *Trends in Cognitive Sciences* 19.6 (jun. de 2015), págs. 349-357. ISSN: 13646613. DOI: 10.1016/j.tics.2015.03.009. URL: <https://linkinghub.elsevier.com/retrieve/pii/S1364661315000704> (visitado 17-08-2023) (vid. págs. 8, 12).
 - [17] Brian A. Wandell y Jonathan Winawer. «Imaging retinotopic maps in the human brain». en. En: *Vision Research* 51.7 (abr. de 2011), págs. 718-737. ISSN: 00426989. DOI: 10.1016/j.visres.2010.08.004. URL: <https://linkinghub.elsevier.com/retrieve/pii/S0042698910003780> (visitado 30-12-2023).
 - [18] Lauren E. Welbourne, Antony B. Morland y Alex R. Wade. «Population receptive field (pRF) measurements of chromatic responses in human visual cortex using fMRI». en. En: *NeuroImage* 167 (feb. de 2018), págs. 84-94. ISSN: 10538119. DOI: 10.1016/j.neuroimage.2017.11.022. URL: <https://linkinghub.elsevier.com/retrieve/pii/S1053811917309291> (visitado 30-12-2023) (vid. pág. 12).
 - [19] J. Winawer et al. «Mapping hV4 and ventral occipital cortex: The venous eclipse». en. En: *Journal of Vision* 10.5 (mayo de 2010), págs. 1-1. ISSN: 1534-7362. DOI: 10.1167/10.5.1. URL: <http://jov.arvojournals.org/Article.aspx?doi=10.1167/10.5.1> (visitado 30-12-2023) (vid. pág. 12).
 - [20] W. Zuidebaan, B. M. Harvey y S. O. Dumoulin. «Modeling center-surround configurations in population receptive fields using fMRI». en. En: *Journal of Vision* 12.3 (mar. de 2012), págs. 10-10. ISSN: 1534-7362. DOI: 10.1167/12.3.10. URL: <http://jov.arvojournals.org/Article.aspx?doi=10.1167/12.3.10> (visitado 31-12-2023) (vid. pág. 7).